

Réaménagement d'une chaussée avant doublement Détermination des dommages et des entretiens



Objectif de l'étude

Déterminer les entretiens à appliquer lors du doublement de la chaussée



Plan de l'exposé

- 1. Présentation de la section
- 2. Investigations
- 3. Détermination des entretiens par ERASMUS



Présentation de la route à doubler





Investigations réalisées

- Mesures de déflexion au déflectographe 03 dans les deux sens
- Relevés de dégradation type M2
- Uni transversal et longitudinal
- 9 Carottages \$\phi\$ 150
- Mesures de Résistance en traction indirecte sur les MTLH



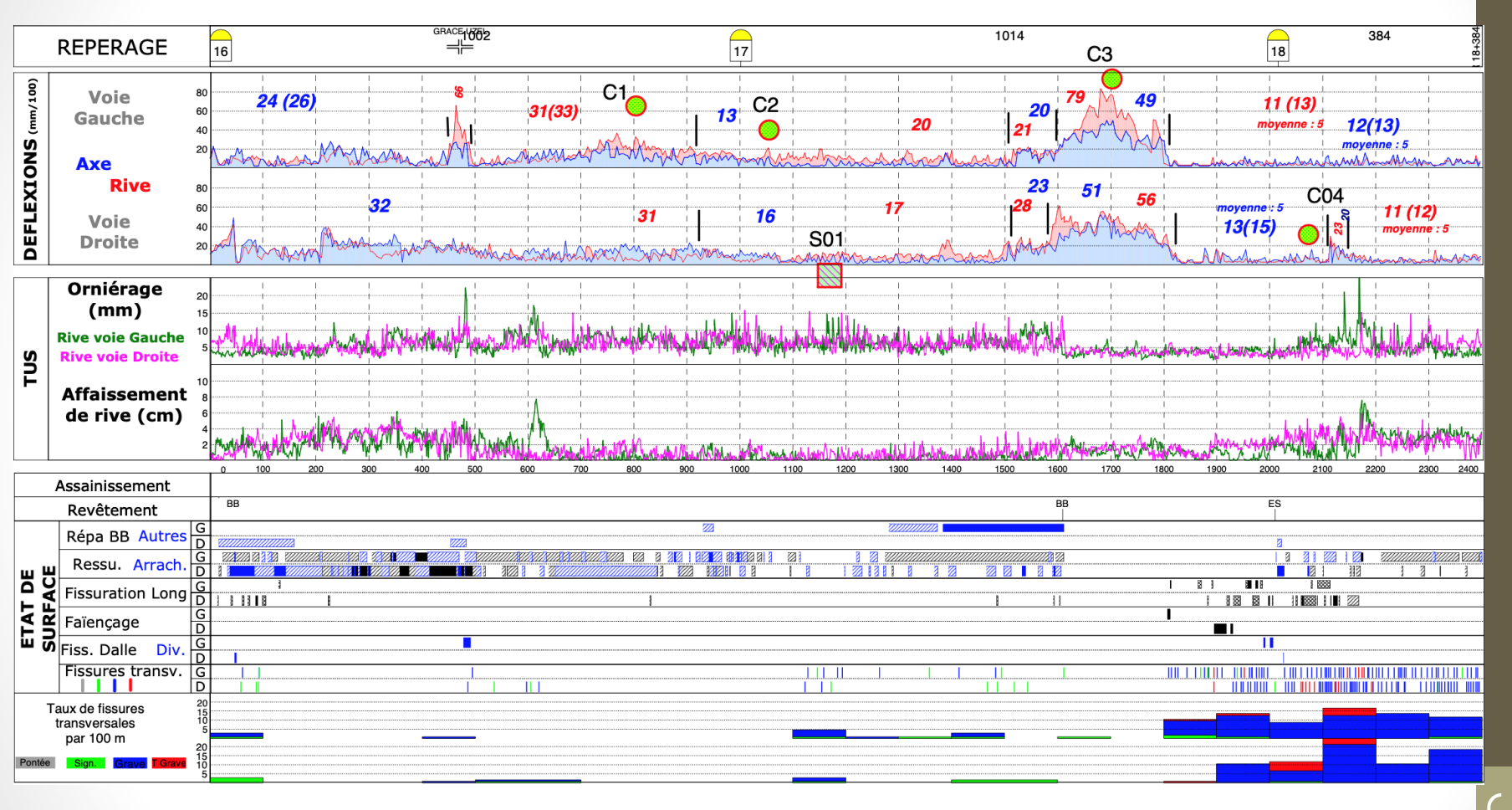
Cahier des charges

- Travaux d'entretien à programmer en 2025
- Couche de roulement : BBTM 0/10
- Durée de service : 20 ans
- Progression du trafic : 2% arth.





Schéma itinéraire



Structure bitumineuse

Structure ATLH





Schéma itinéraire

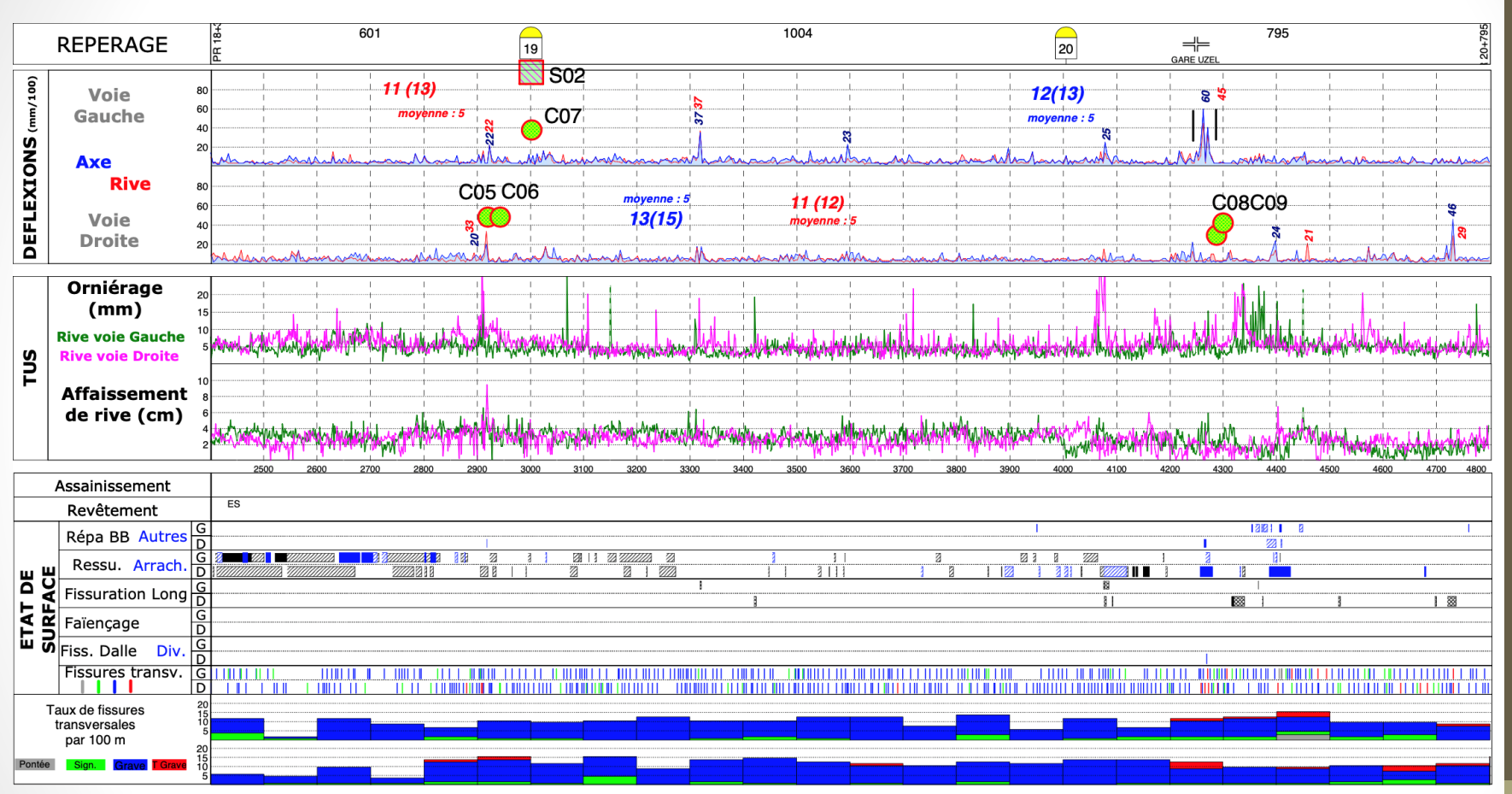
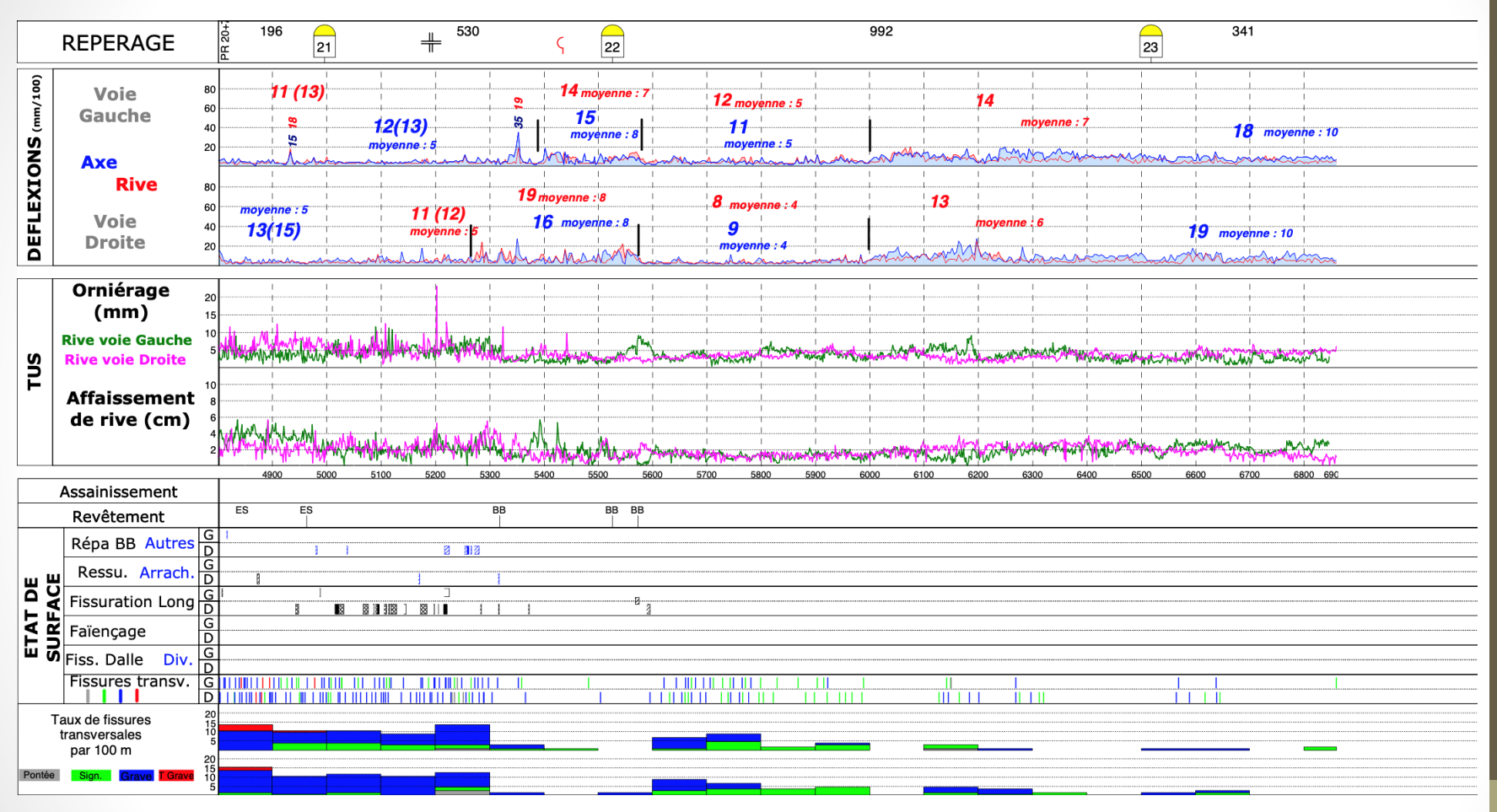






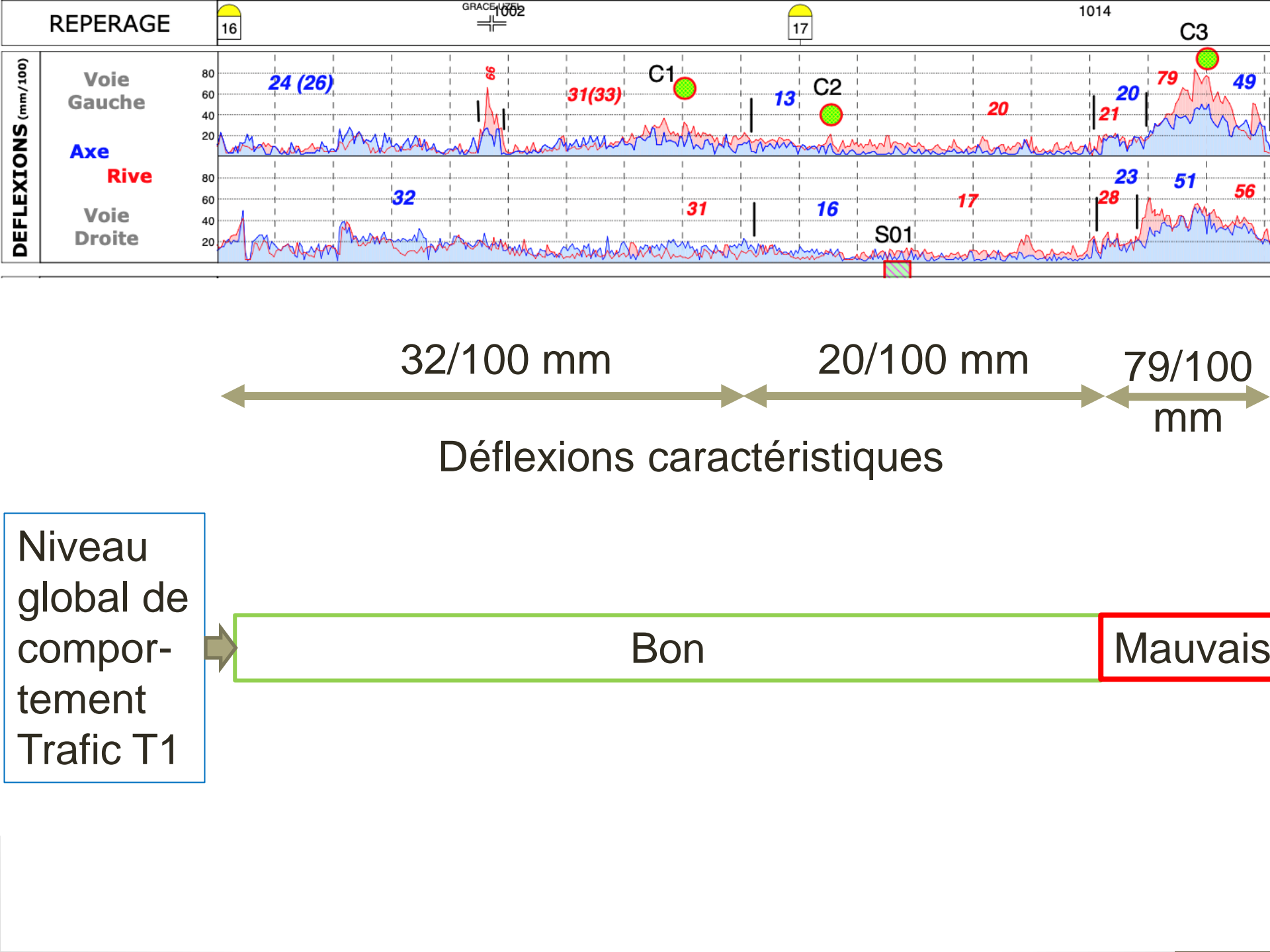
Schéma itinéraire

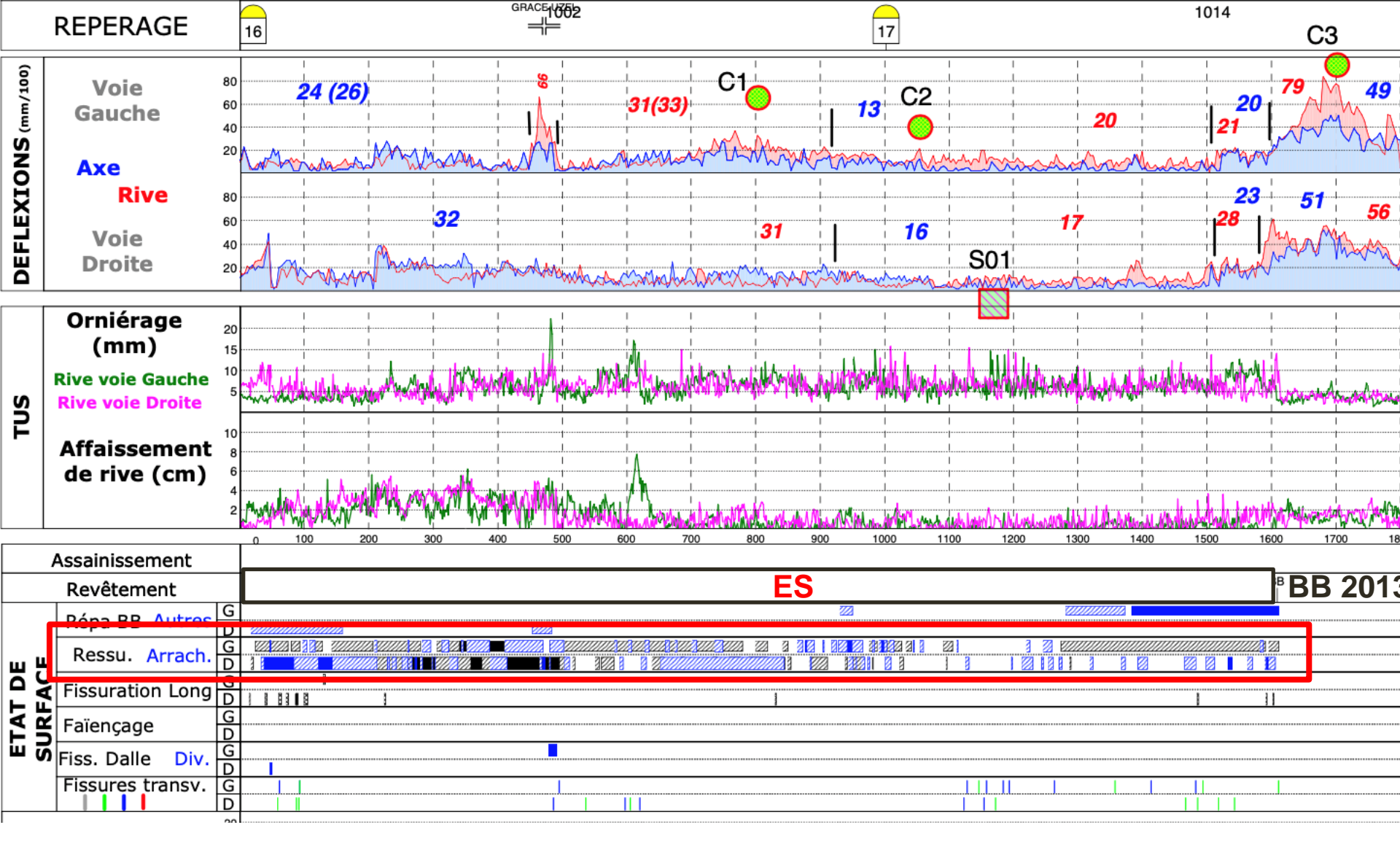






Etude de la structure bitumineuse





Dégradations : principalement du ressuage de l'enduit



3 Carottages









Carottage C1





Defl. 30/100 mm



Carottage C3



5 BBSG 0/10 cl.3

9 GB 0/14 cl.3

4,5 BB

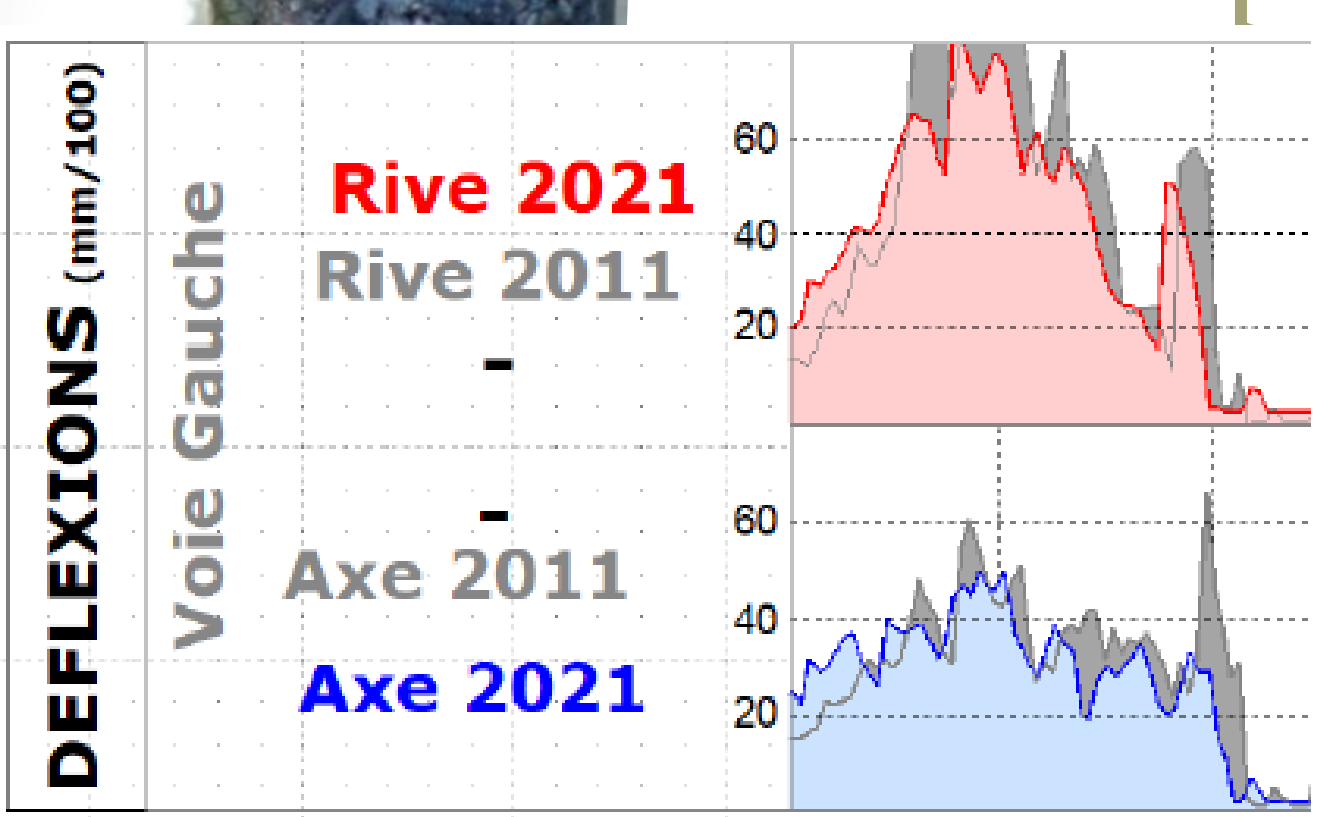
15,5 GB

Tvx 2013 après fraisage 14 cm

ERASMUS niveau du Carottage C3



5 BBSG 0/10 cl.3



Tvx 2013 après raisage 4 cm



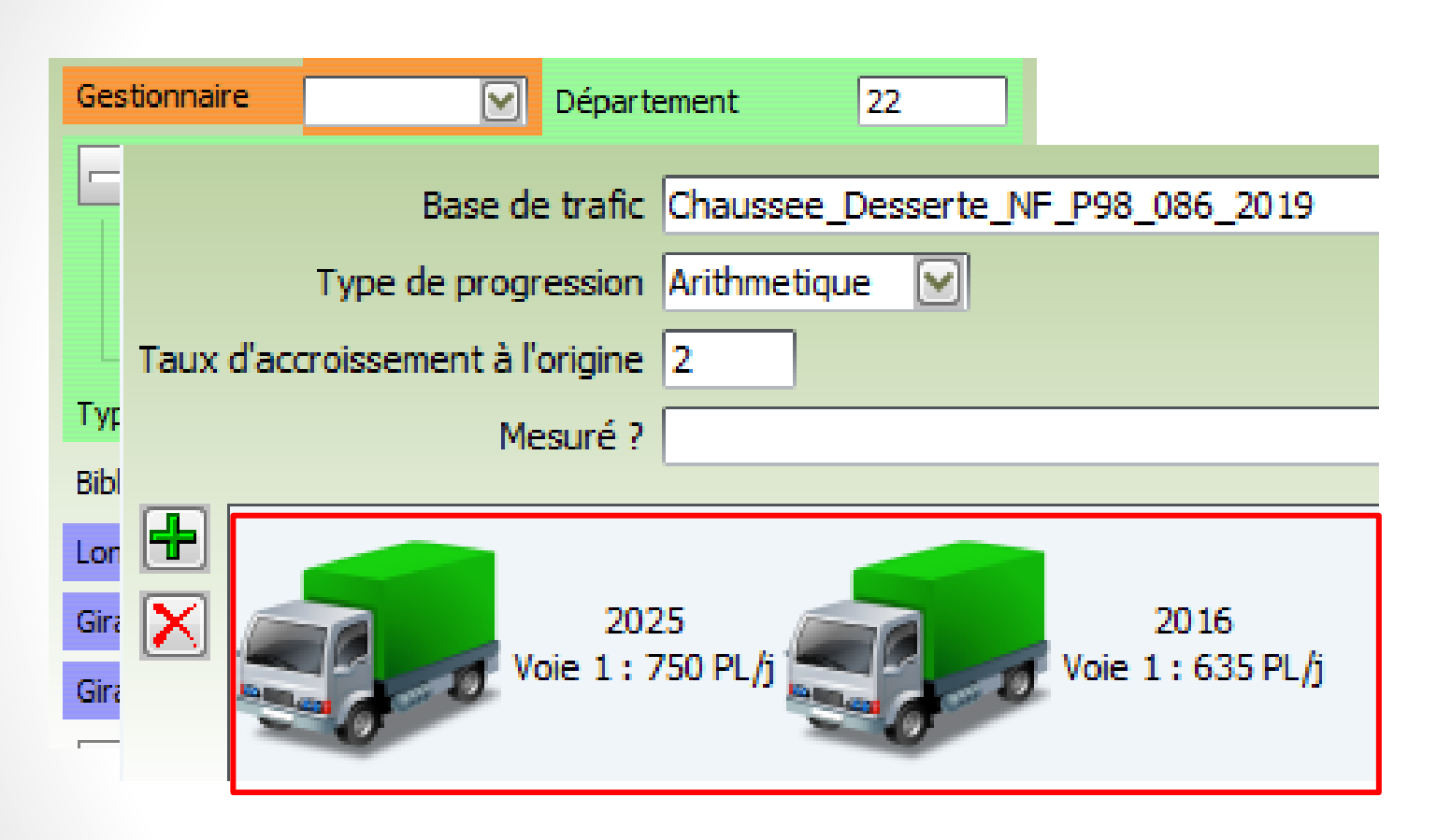
Synthèse

- Déflexions :
 - 3 zones homogènes
 - 32/100 mm (1)
 - 20/100 mm (2)
 - 79/100 mm (3)
- Dégradation
 - Ressuage généralisé de l'ES
- Carottages
 - Structure bitumineuse ~ 35 cm
- Entretien par fraisage sur 15 cm dans la zone (3) présentant des dégradations structurelles en 2013

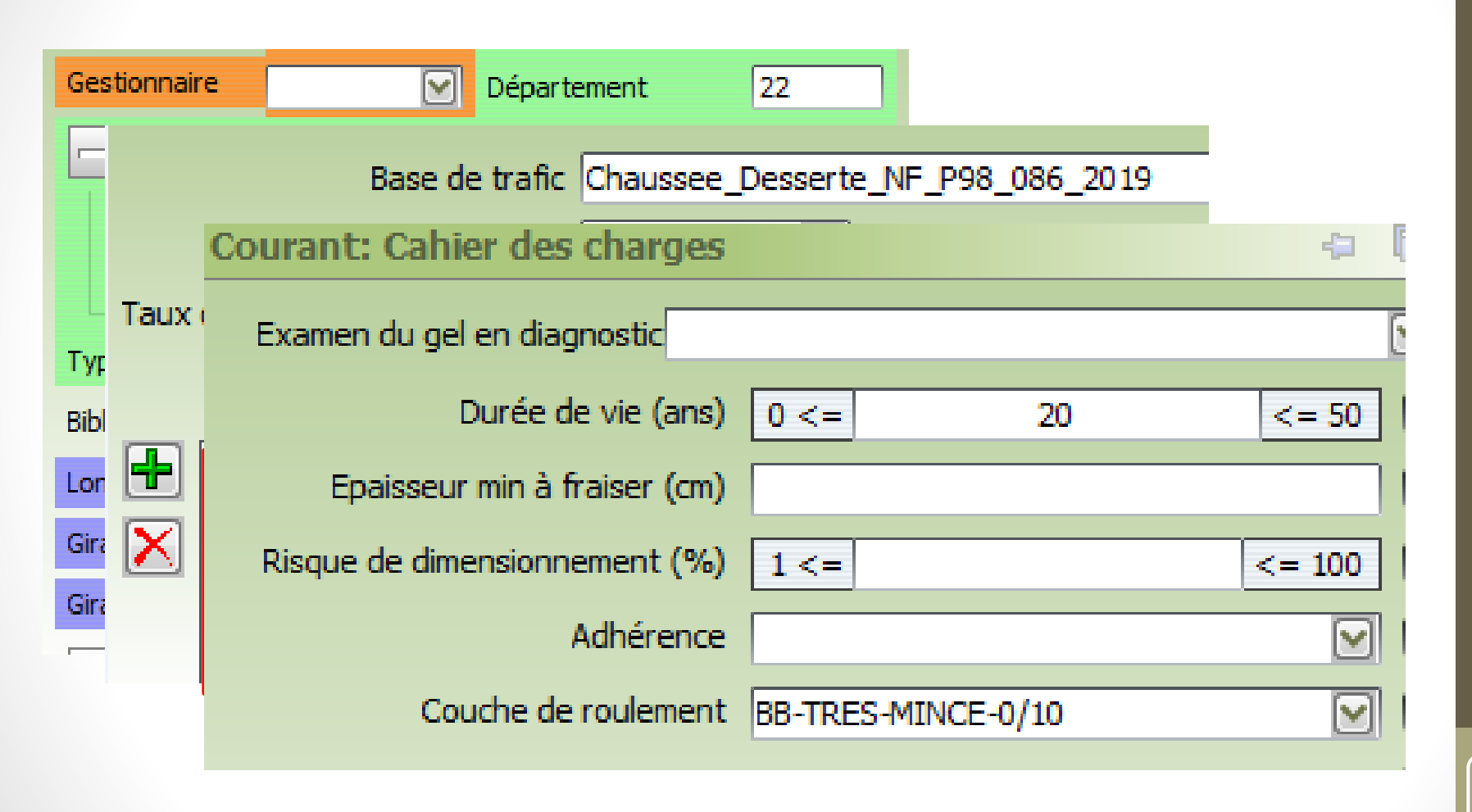


Gestionnaire	Département 22		
— Localisation d Supprimer	— Localisation fin Supprimer		
pr 16	pr 17		
abs 0	abs 800		
Type chaussée mi✓	Sens chaussée Sens +₩		
Bibliothèque 🔛	Répertoire		
Longueur (m) 100	Largeur (cm) 760		
Giratoire ✓	Rayon de giration (m)		
Giratoire depuis	Année d'étude 2025		





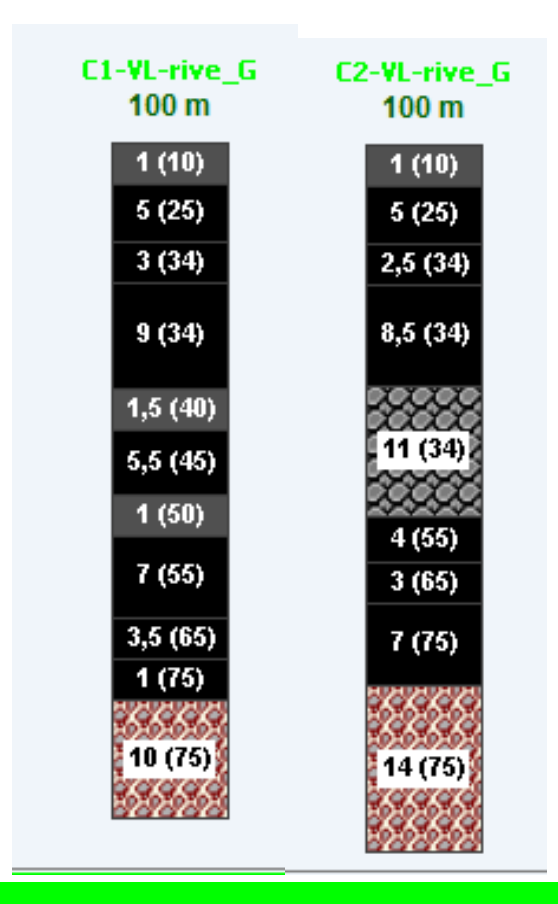


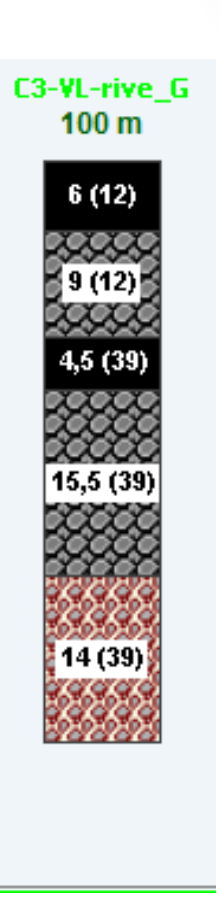








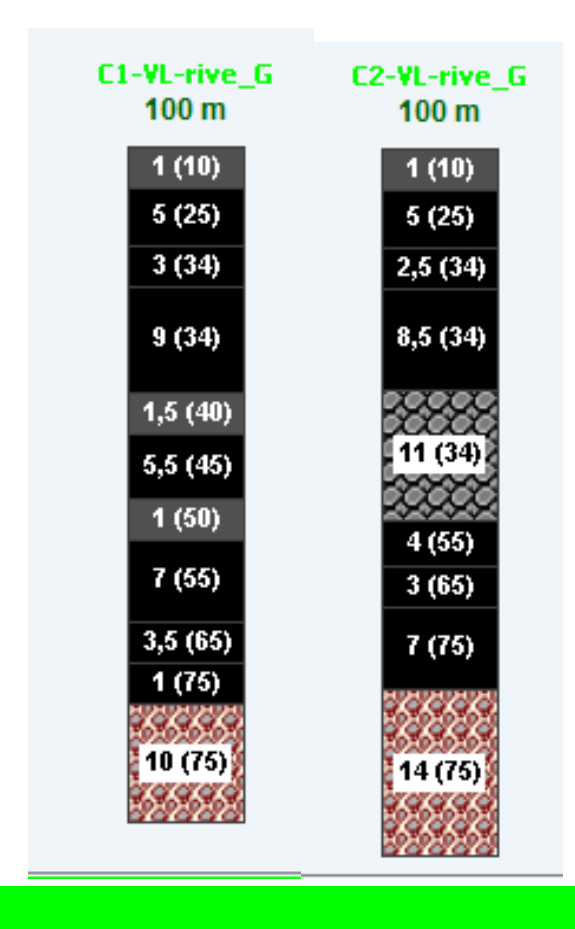


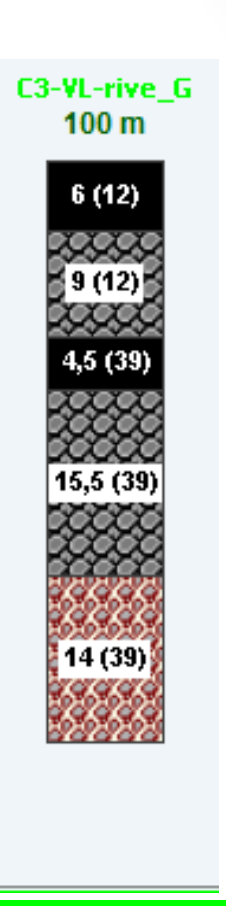


2025: BB-TRES-MINCE-0/10 (2.5 cm)

2025: BBSG-LIAISON-0/10-CLASSE-2 (5.0 cm)







2025: BB-TRES-MINCE-0/10 (2.5 cm)

2025: BBSG-LIAISON-0/10-CLASSE-2 (5.0 cm)

Durée de calcul (années)



Etude de la structure en ATLH

Données d'archives



*En 2015*ES
PR 17+800 à 21+340

En 2015 PR 21+340 à 23+340 2,5 BBTM 4 BBM

6 Fraisage

6 BBSG 0/10

20 GC 0/20

25 GC 0/20

ES *en 1995*

Structure neuve réalisée *en 1986*

PF2

Remarque:

Cette structure est proche de celle proposée dans le catalogue des structures de 1977 (T2 – PF2) calculée pour

une durée de 20 ans

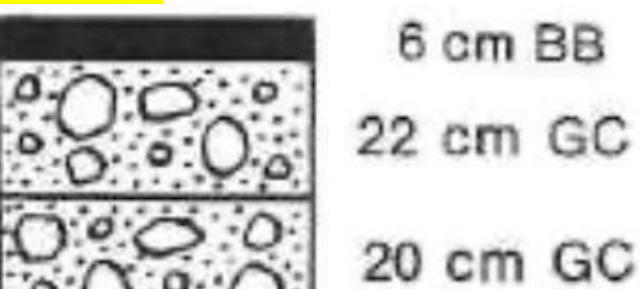
6 BBSG

20 GC 0/20

25 GC 0/20

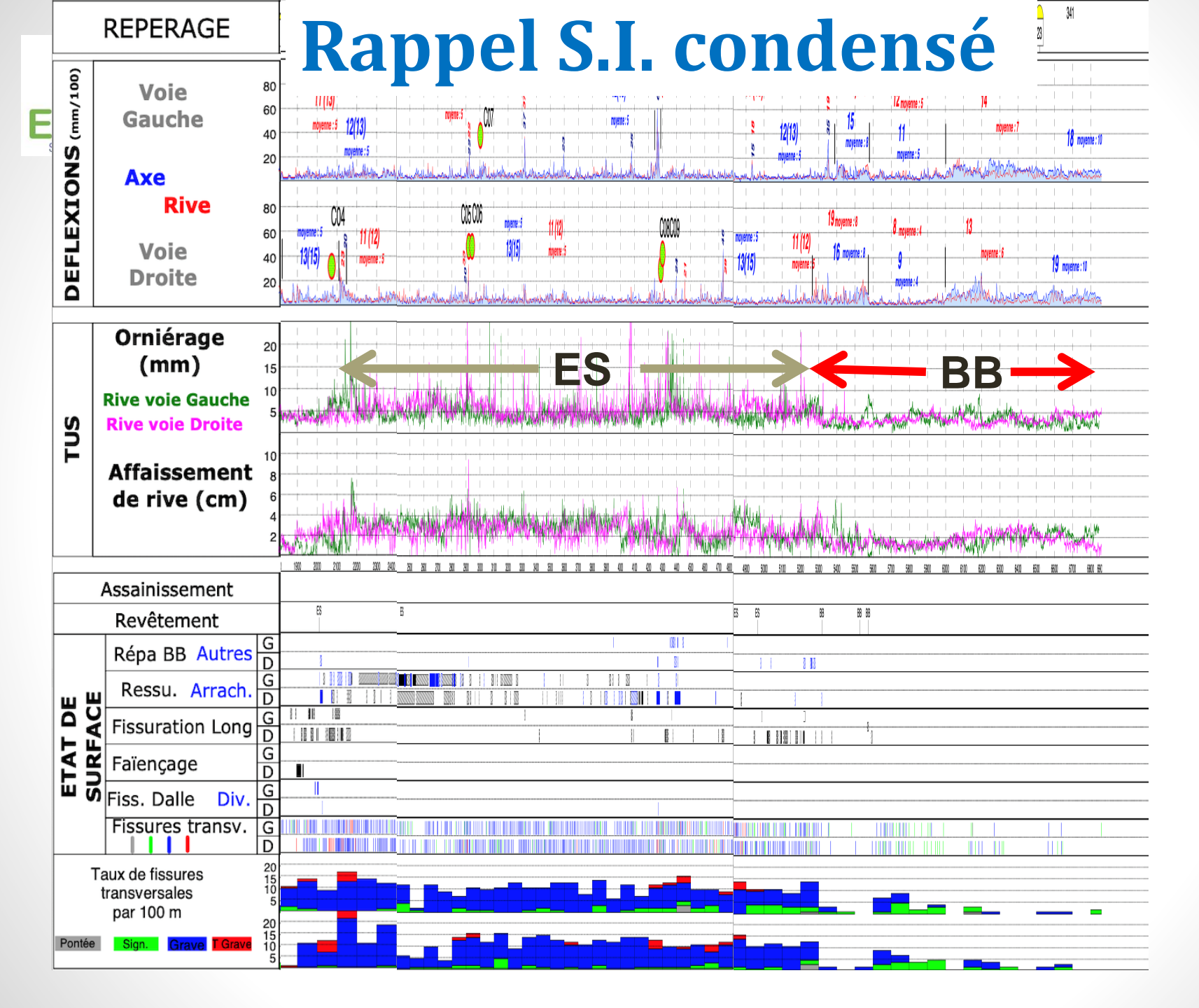
ives

3+340



Structure neuve réalisée en 1986

36 ans

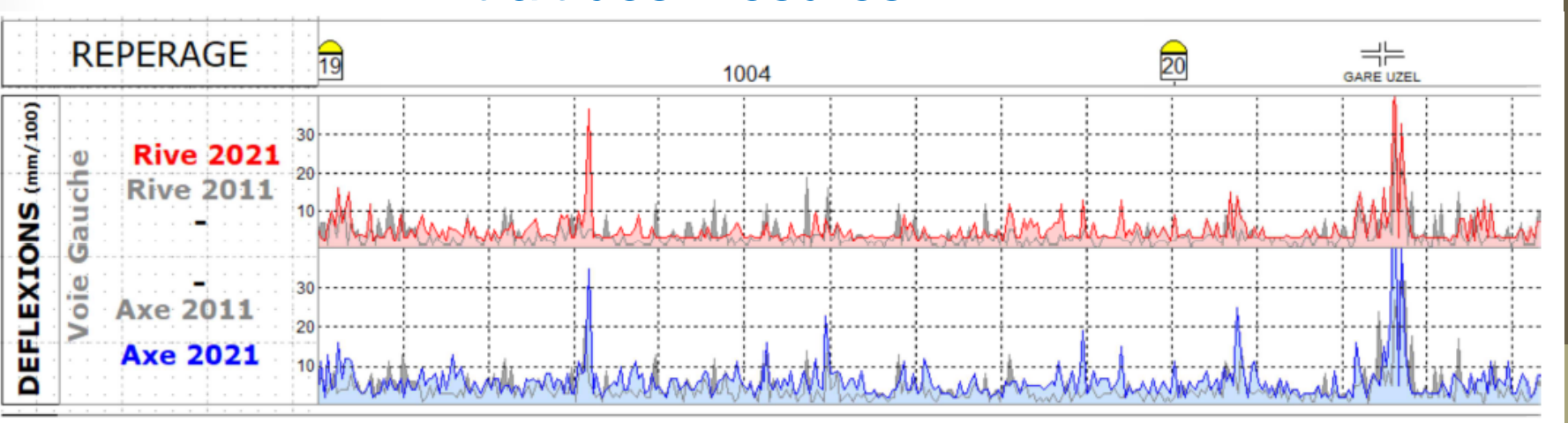




Déflexions

Réalisées en Juillet 2021 (température ~ 30° C) ⇒ Favorable à un bon engrènement au niveau des fissures transversales

Extrait des mesures

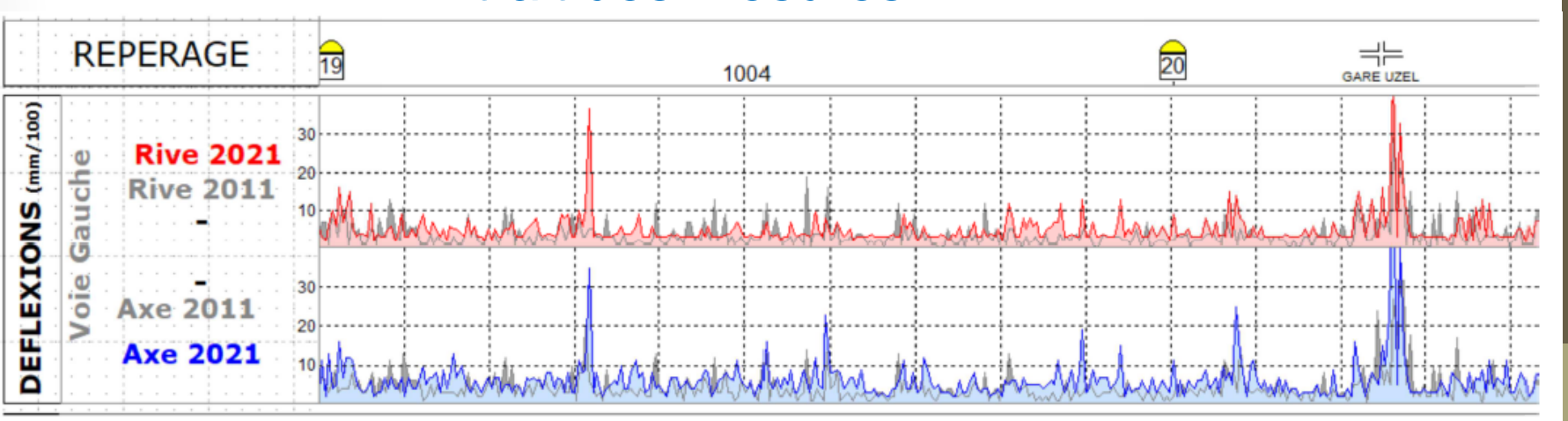


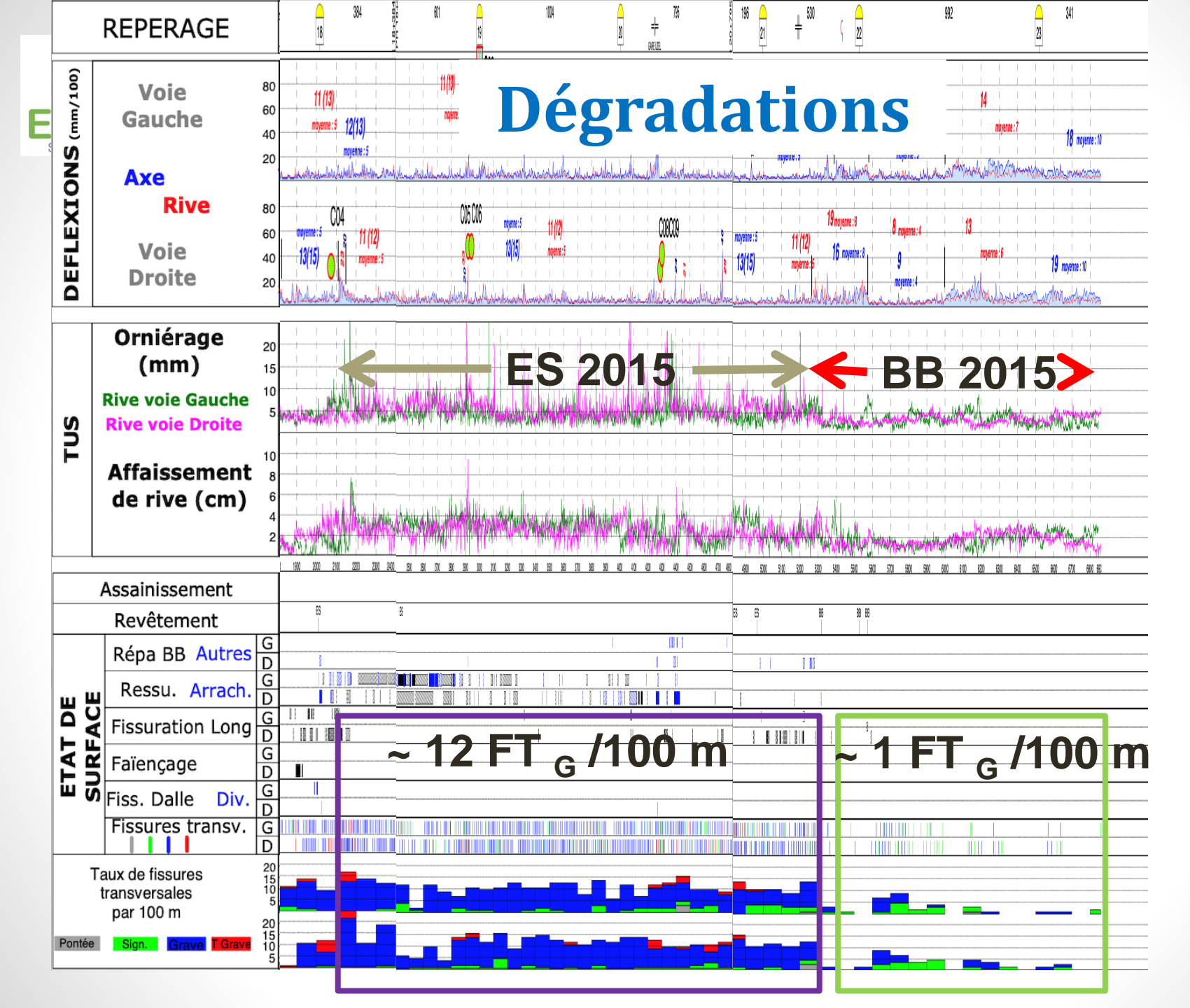


Déflexions

La comparaison avec les mesures de 2011 montre quelques évolutions au niveau des « pics » (fissures transversales)

Extrait des mesures







Carottages











Carottage

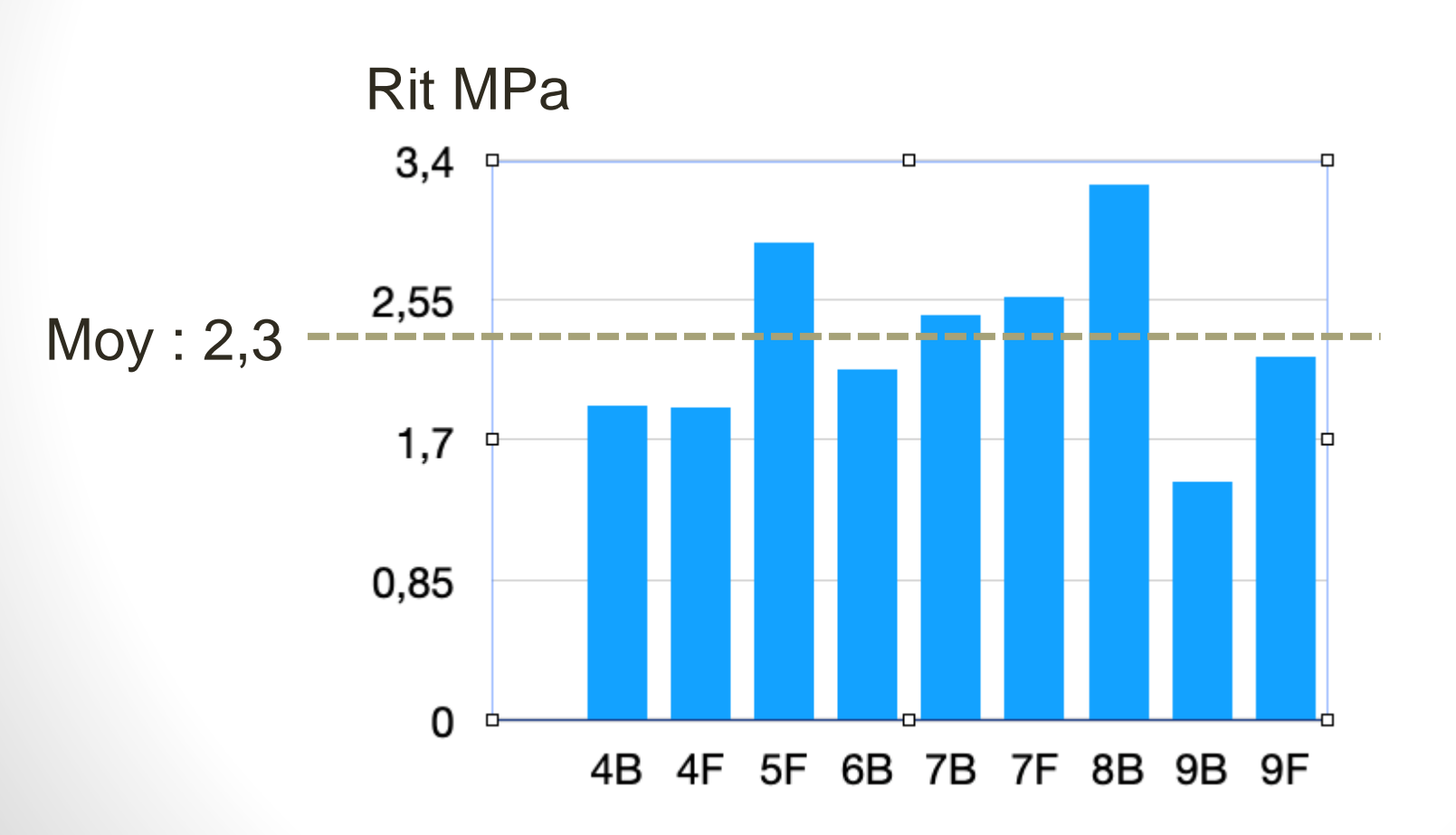




Proche de FT dédoublée avec laitance ⇒ CR décollée

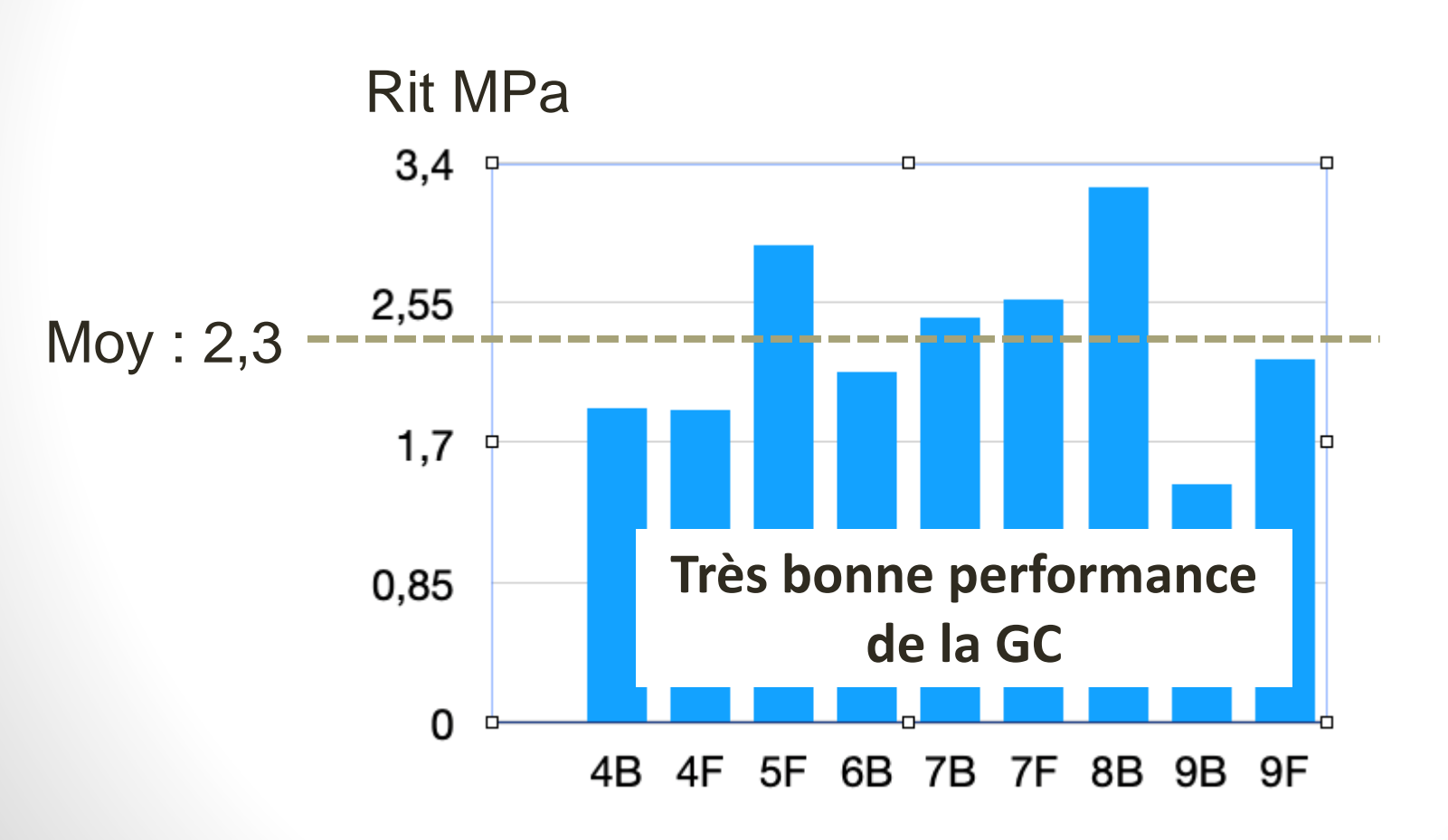


Essais de Résistance à la traction indirecte sur les carottes en GC





Essais de Résistance à la traction indirecte sur les carottes en GC

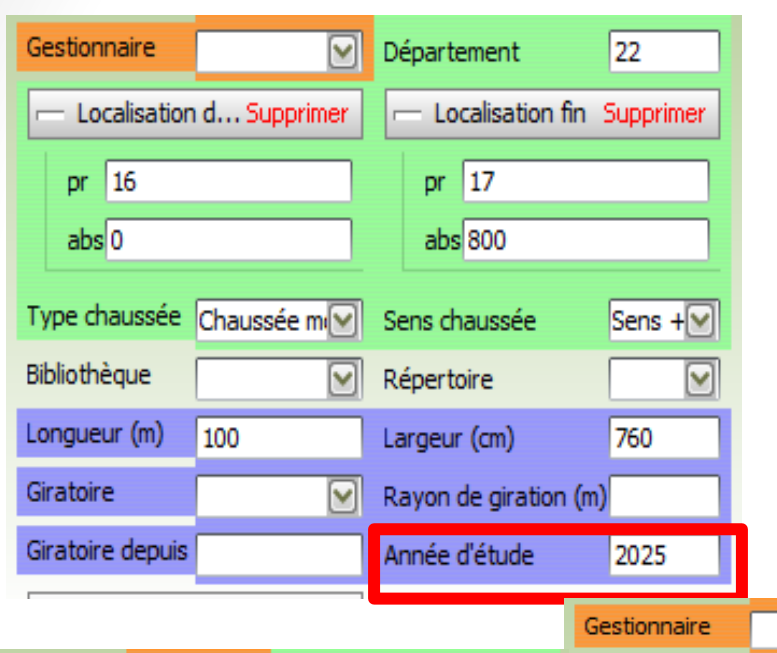




Synthèse

La structure en GC de 36 ans présente un bon comportement structurel Dans la zone avec ES le nombre de FT_G, voisin de 12 par 100 m, est élevé Dans la zone entretenue avec BB le nombre de





Même données générales que précédemment pour la future voie lente

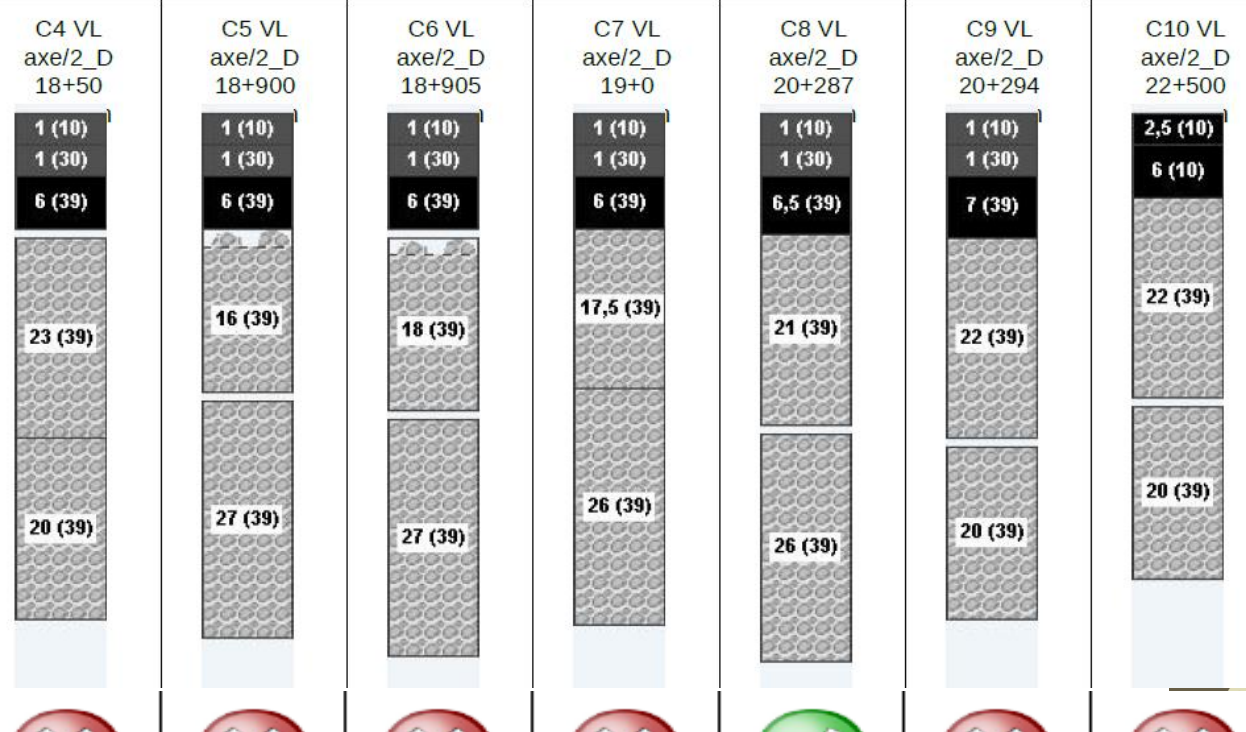
	Gestion	naire	✓ Département	22		
Ges	tionnaire Département 22					
F			Base de trafic Chaussee_	_Desserte_N	F_P98_086_2019	
Ŀ	Base de trafic Chaussee_Desserte_NF_P98_0	36_2019	ant: Cahier des charges			4
	Type de progression Arithmetique		unc. cumer des enarges			
H	Taux d'accroissement à l'origine 2		amen du gel en diagnostic			[
Тур	Mesuré ?		Durée de vie (ans)	0 <=	20	<= 50
Bibl	+		Epaisseur min à fraiser (cm)			
Gira	2025	016 635 PL/j	que de dimensionnement (%)	1 <=		<= 100
Gira			Adhérence			\mathbf{v}
			Couche de roulement	BB-TRES-M	INCE-0/10	$\overline{\mathbf{v}}$



Fissure trans. ramifiée et affaissée	Fissure trans. ramifiée et affaissée	Fissure trans. ramifiée et affaissée	Fissure trans. ramifiée et affaissée	Fissure trans. ramifiée et affaissée	Fissure trans. ramifiée et affaissée	
Fissure trans. ramifiée	Fissure trans. ramifiée	Fissure trans. ramifiée	Fissure trans. ramifiée	Fissure trans. ramifiée	Fissure trans. ramifiée	Fissure trans. ramifiée
						Fissure trans. franche
15 mm/100	20 mm/100	20 mm/100	15 mm/100	20 mm/100	20 mm/100	15 mm/100
18+50 1 (10) 1 (30) 6 (39) 23 (39)	18+900 1 (10) 1 (30) 6 (39) 16 (39)	18+905 1 (10) 1 (30) 6 (39) 18 (39)	19+0 1 (10) 1 (30) 6 (39) 17,5 (39)	20+287 1 (10) 1 (30) 6,5 (39) 21 (39)	20+294 1 (10) 1 (30) 7 (39)	22+500 2,5 (10) 6 (10) 22 (39)
C4 VL axe/2_D 18+50	C5 VL axe/2_D	C6 VL axe/2_D	C7 VL axe/2_D	C8 VL axe/2_D	C9 VL axe/2_D 20+294	C10 VL axe/2_D



Solutions rechargement



6.0 bbsg-0/10-C2















6.0 bbsg-0/10-C2 8.0 bbsg-liaison-

0/14-C2













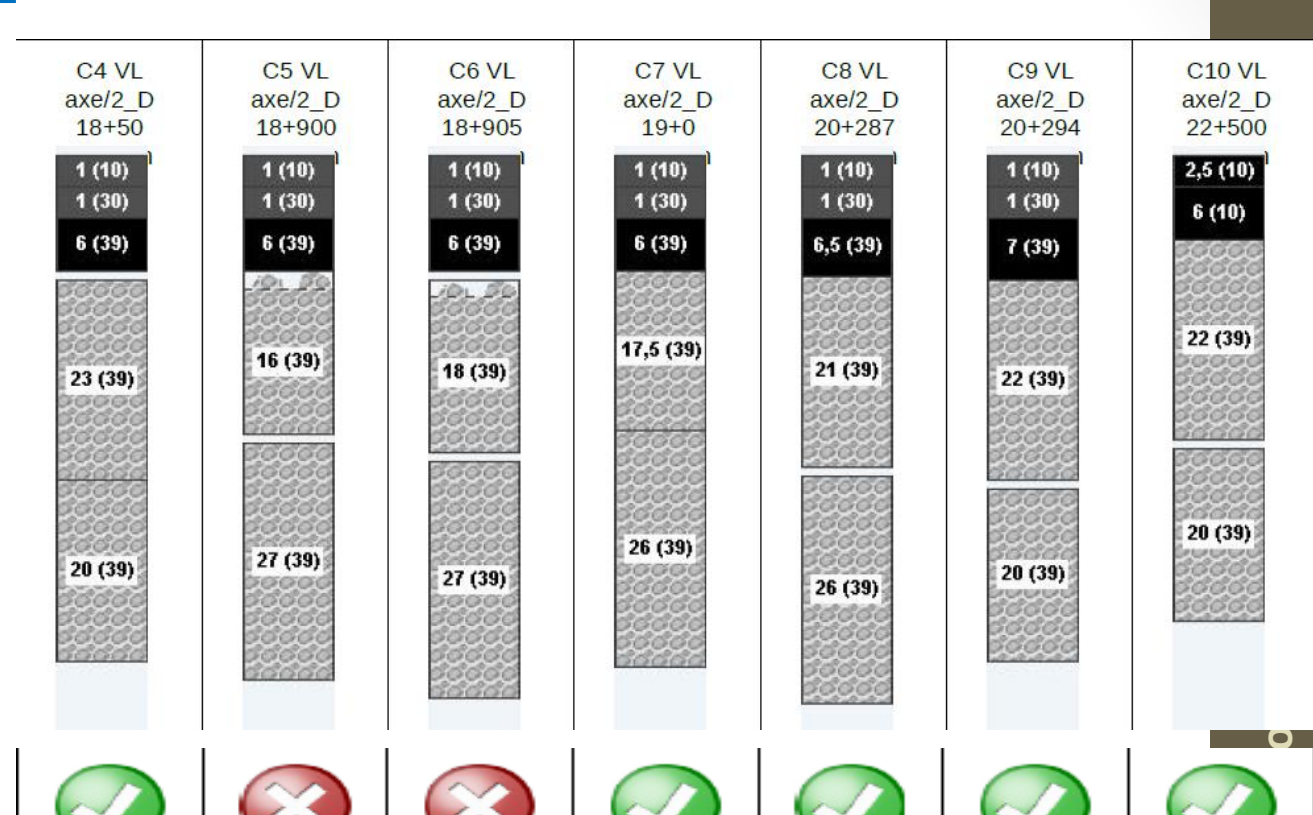




Solutions décaissement Seuil: 0

6.0 bbsg-0/10-C2 6.0 bbsg-liaison-0/14-C2 10.0 Fraisage

6.0 bbsq-0/10-C2 6.0 bbsg-liaison-0/14-C2 11.0 Fraisage













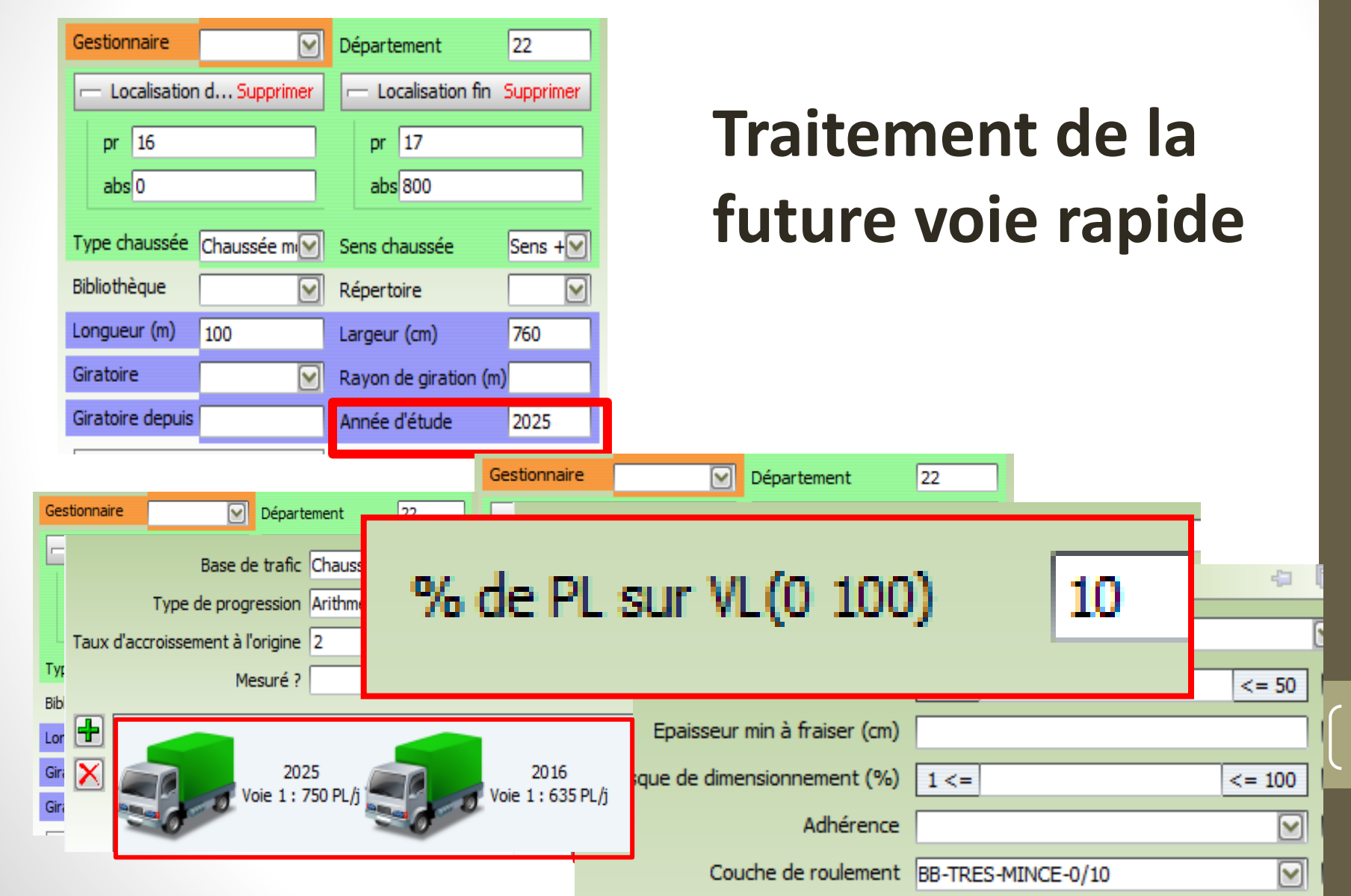




40

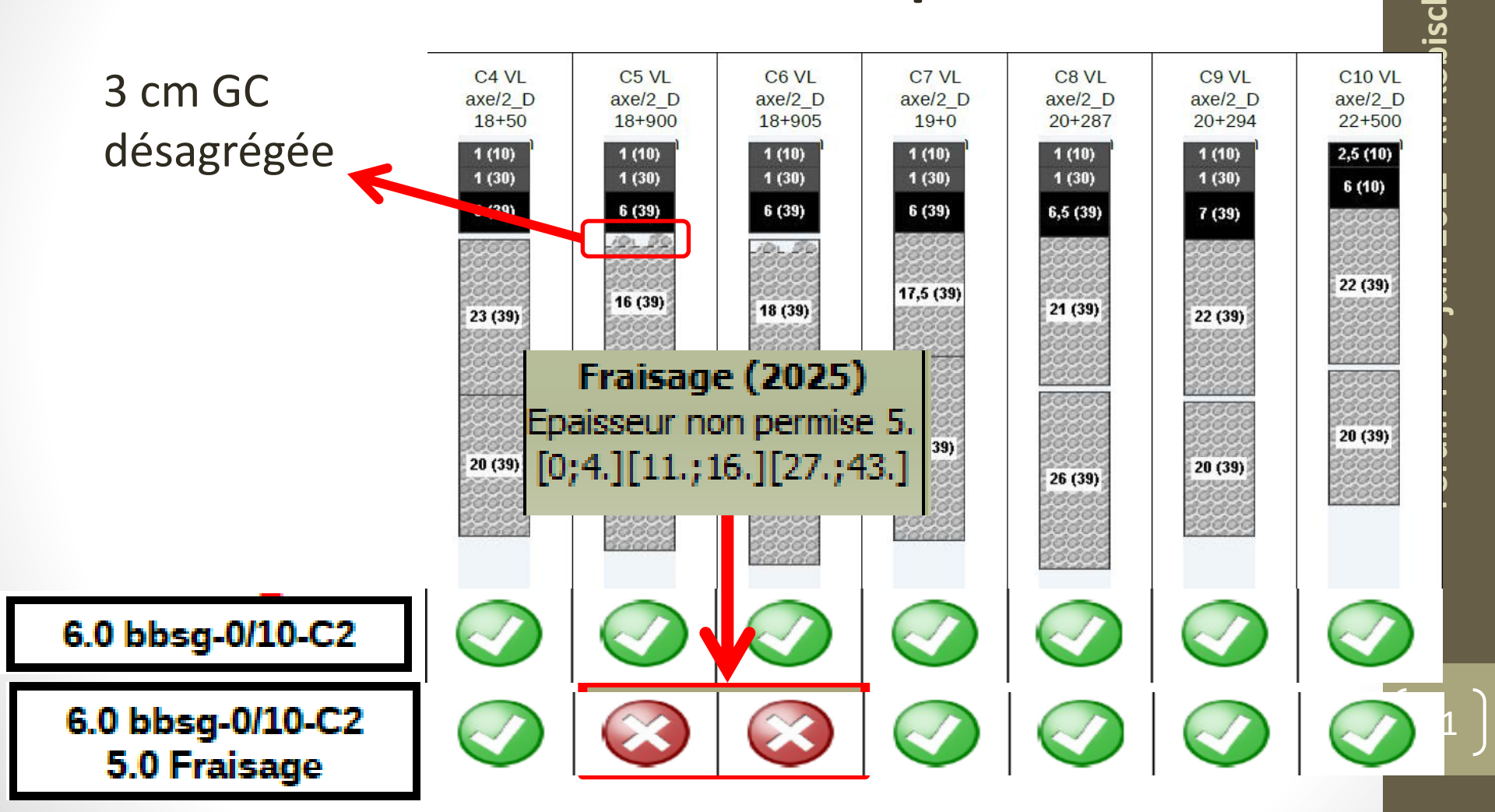


Application d'ERASMUS



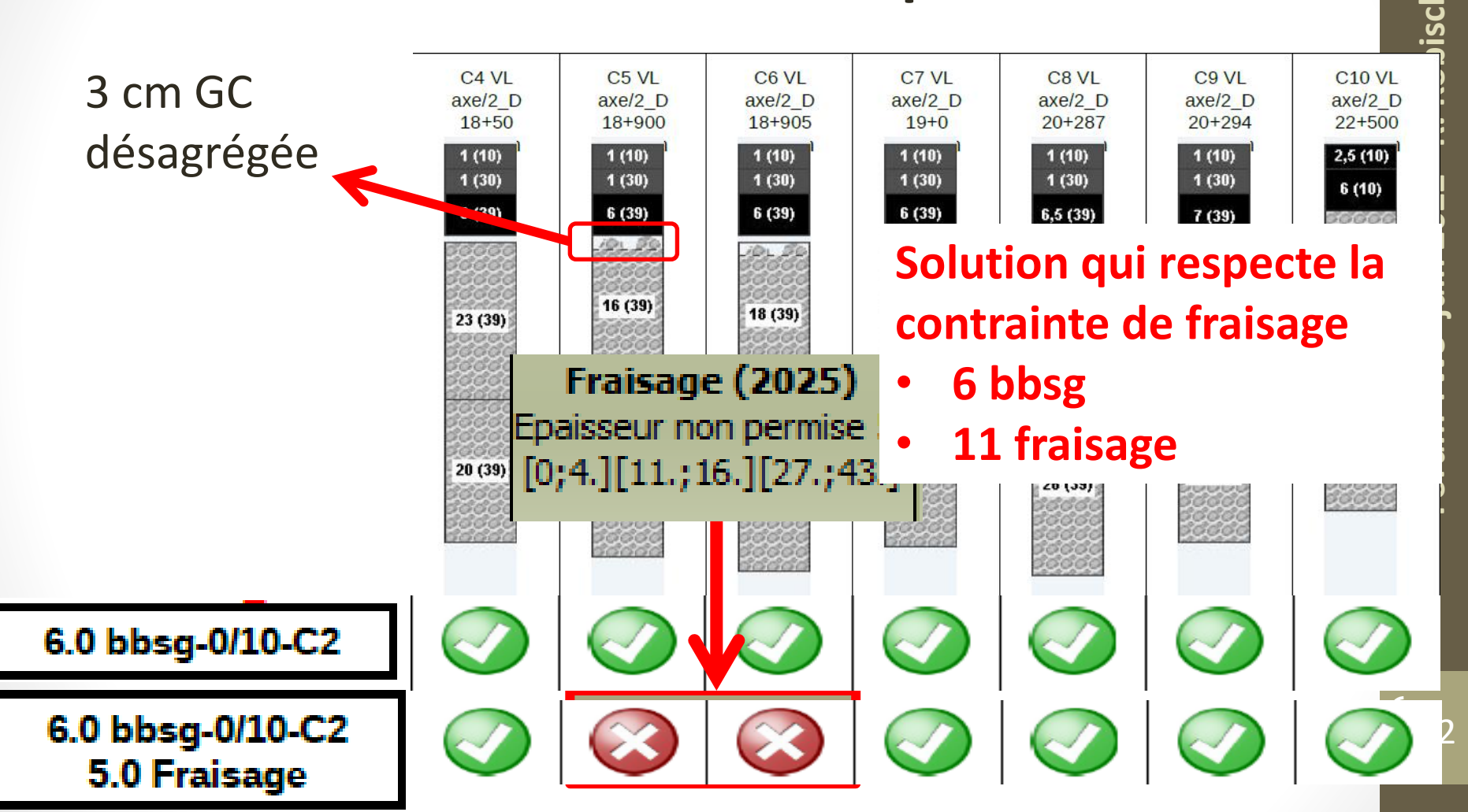


Future voie rapide





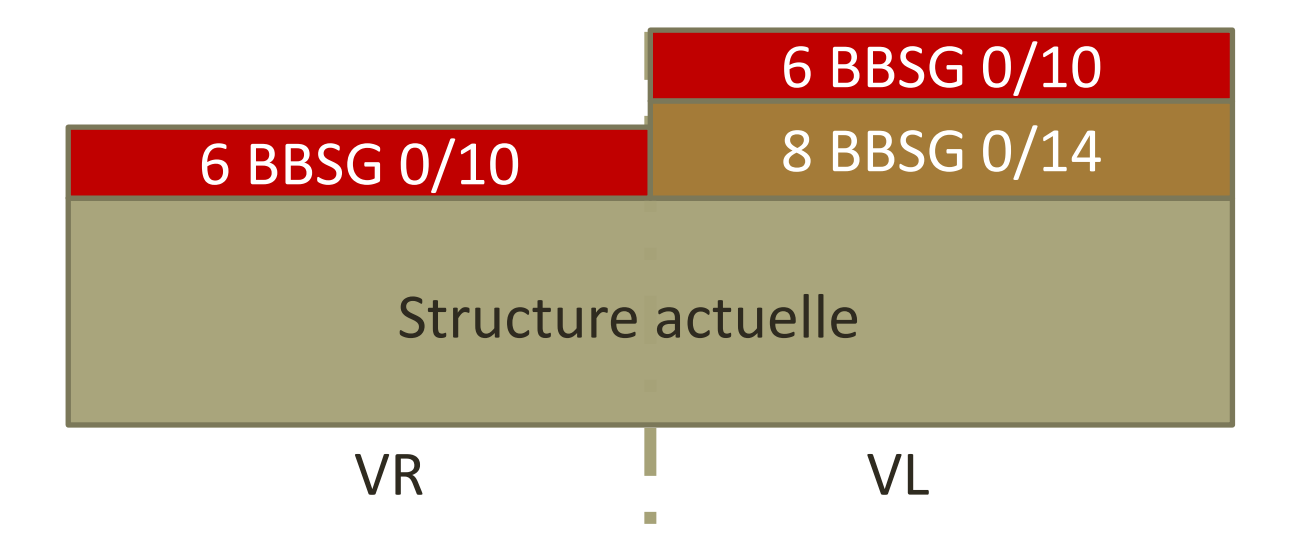
Future voie rapide





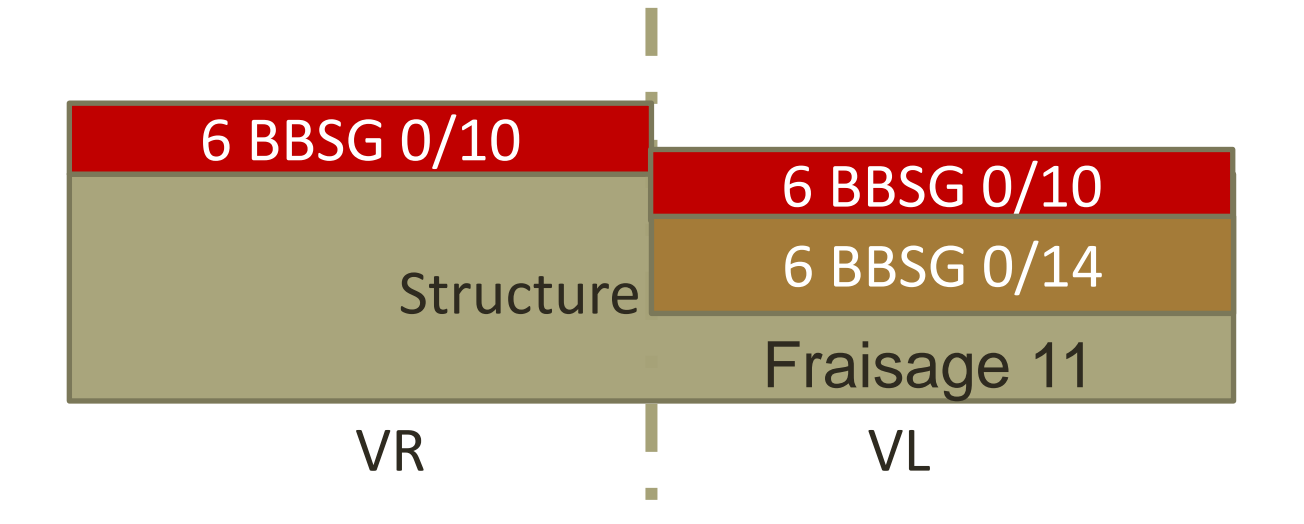
Compatibilité des solutions entre les deux voies lente et rapide

Solutions rechargement



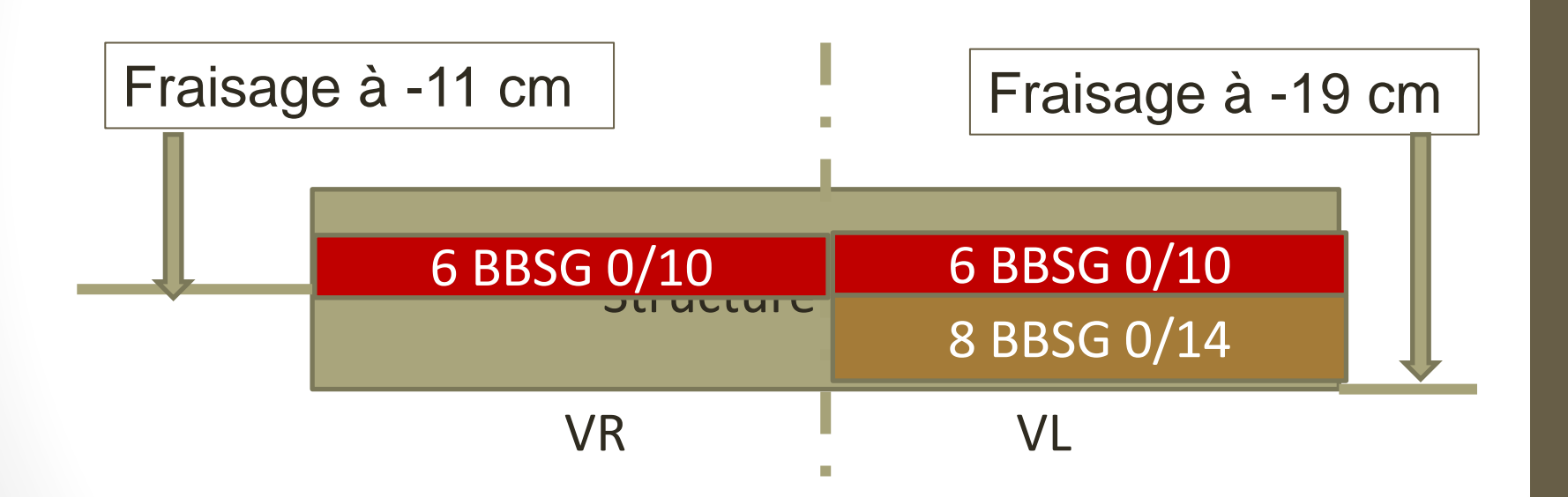


Compatibilité des solutions entre les deux voies lente et rapide





Compatibilité des solutions entre les deux voies lente et rapide



La solution en VL est-elle structurellement vérifiée ?

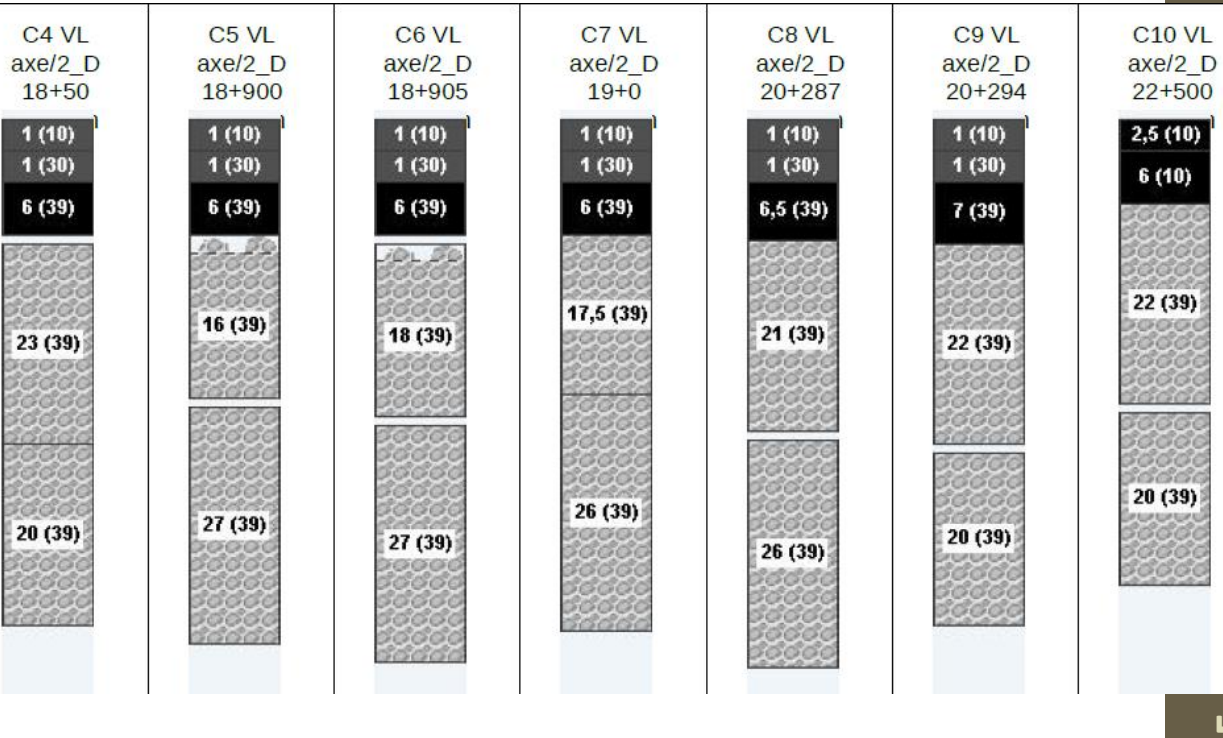


Avec les données de la voie lente

Courant: Cahier des	charges				4		E.
Examen du gel en diag			<u>~</u>	Ę			
Durée d	0 <=	20		<= 50			
Contrainte de seuil					Supprii	mer	
Type de contraint	e Fixé					v	
Seuil	-5						



Solutions décaissement Seuil: -5 cm



6.0 bbsg-0/10-C2 6.0 bbsg-liaison-0/14-C2 17.0 Fraisage













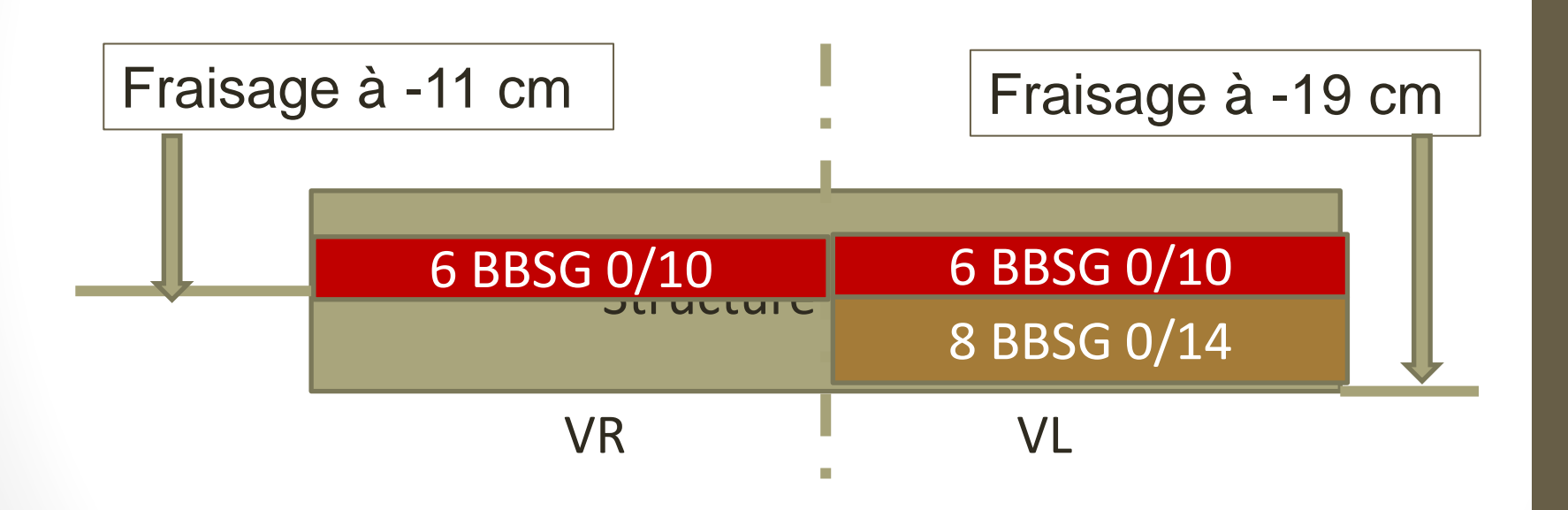


Durée de calcul





Compatibilité des solutions entre les deux voies lente et rapide



Cette solution est structurellement vérifiée

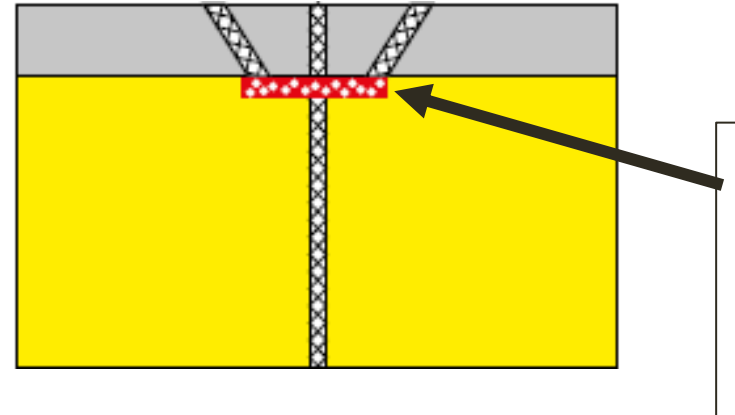


Vis-à-vis de la remontée des fissures transversales que choisir entre :

- rechargement,
- ou décaissement jusqu'au niveau de la grave hydraulique



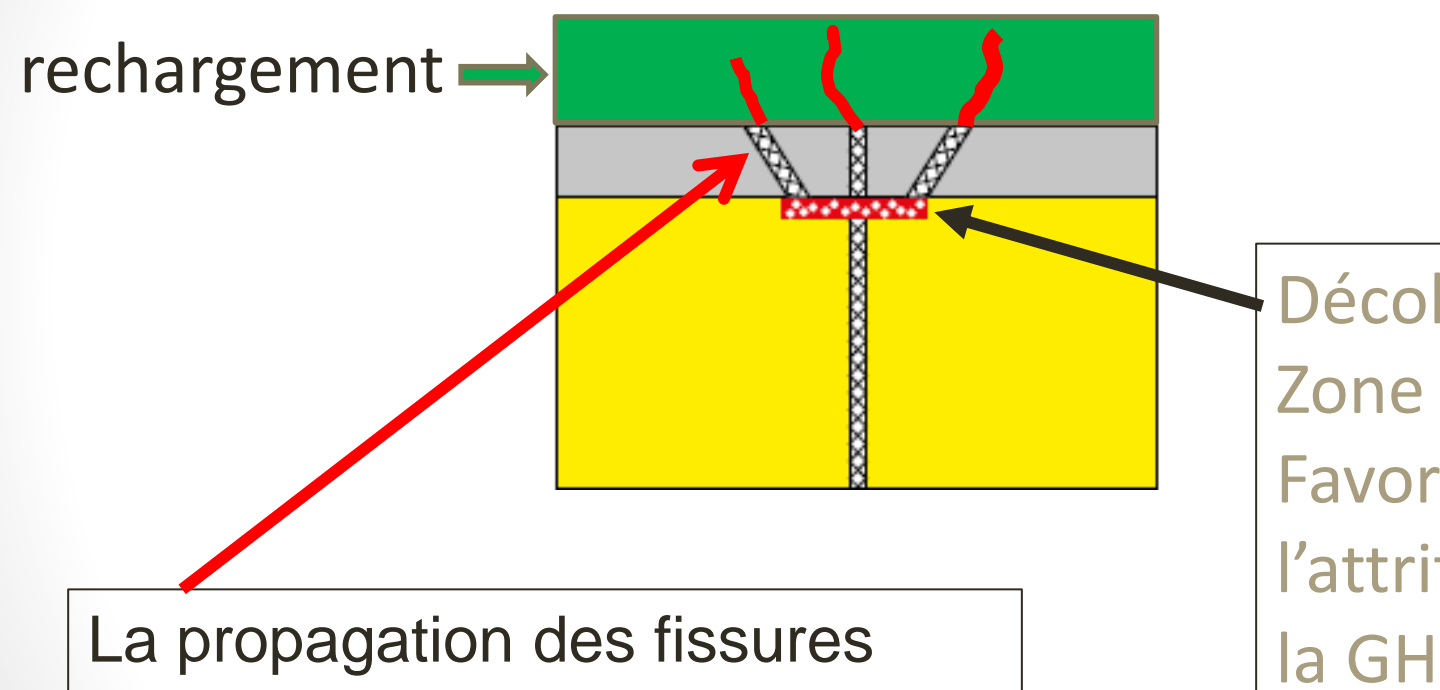
Généralement au niveau des FT ramifiées



Décollement Zone faible Favorable à l'attrition de la GH et la présence d'eau



Généralement au niveau des FT ramifiées



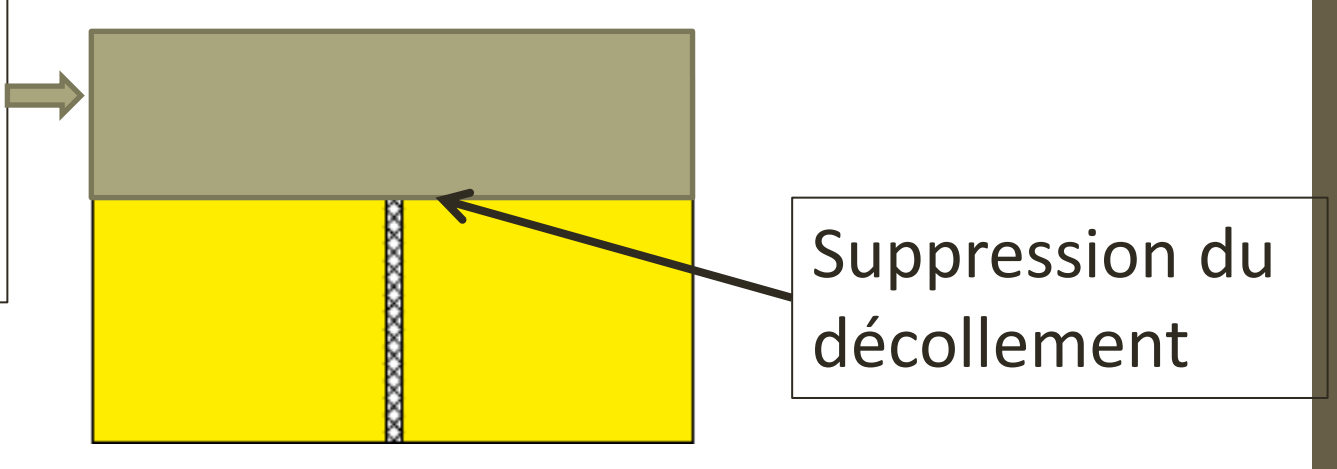
La propagation des fissures dans le rechargement est favorisée par les fissures existantes

Décollement Zone faible Favorable à l'attrition de la GH et la présence d'eau



Généralement au niveau des FT ramifiées

décaissement jusqu'au niveau de la grave hydraulique



La nouvelle couche reprend le cycle de la couverture bitumineuse d'une structure en ATLH



Conclusions sur l'étude de la structure en ATLH

L'application d'ERASMUS nous a permis d'élaborer différentes possibilités d'entretien :

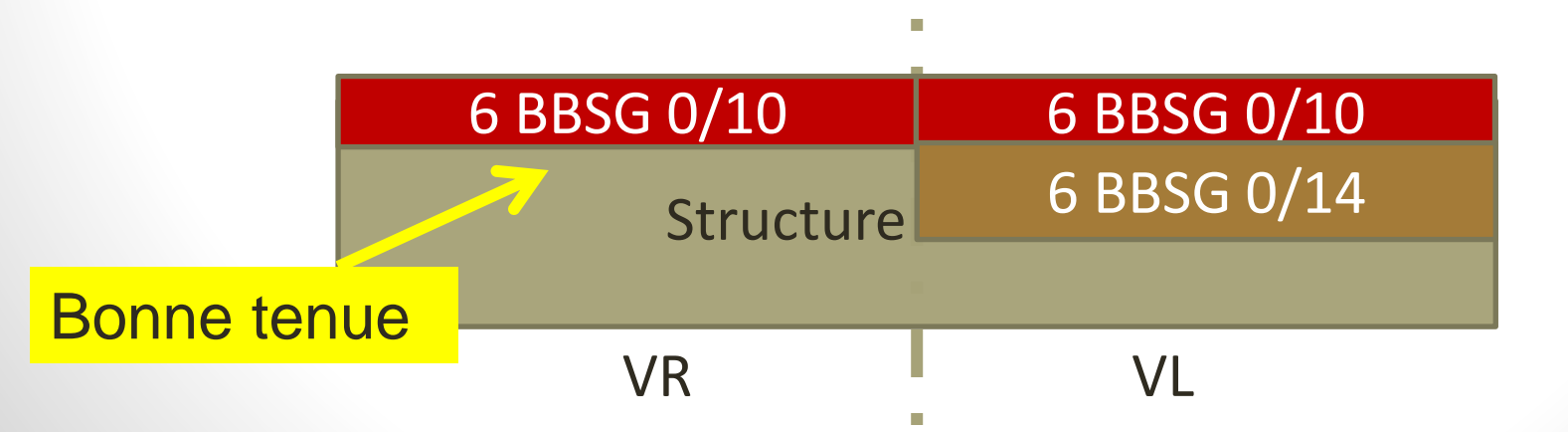
- Rechargements
- Décaissements

Les contraintes de fraisage pour la future voie rapide nous conduit à déterminer une solution de sous élévation du niveau actuel



Conclusions sur l'étude de la structure en ATLH

Eu égard au trafic de la future voie rapide, une solution de fraisage de celle-ci sur 6 cm, avec vérification de la tenue de l'enrobé restant au moment de cette opération, peutêtre présentée au M.O.

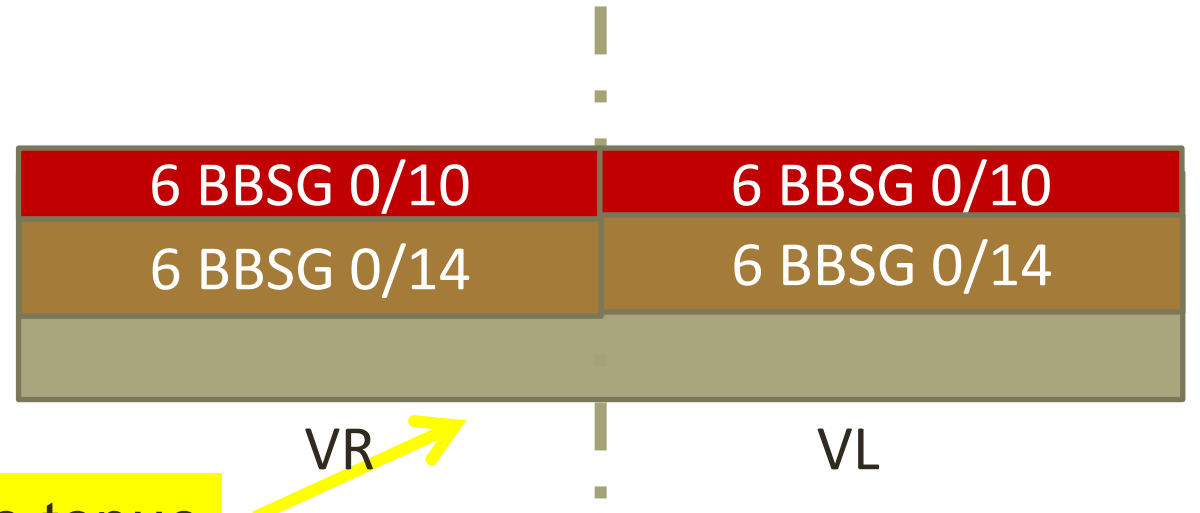


54



Conclusions sur l'étude de la structure en ATLH

Dans les zones présentant des points faibles au fraisage, celui-ci sera porté à 11cm comme sur la voie lente



Mauvaise tenue



Conclusions

Les investigations sur les deux structures et l'application d'ERASMUS ont permis, pour des travaux prévus en 2025, d'élaborer différentes solutions d'entretien

